

B. Το Γενικό Θέλημα Poincaré-Bendixon (Poincaré/Bendixon)

Θέλημα 3 (Η κλασική έκδοση)

Εστω $U(t)$ λύση της
 (1) $x' = f(x)$, $x(0) = x_0$

$x(t) = (x_1(t), x_2(t))$, $f(x) = (f_1(x_1, x_2), f_2(x_1, x_2))$

$f \in C^1(\hat{U}; \mathbb{R}^2)$, $f: \mathbb{R}^2 \cap \hat{U} \rightarrow \mathbb{R}^2$

Υποθέτουμε ότι η $x(t)$ ορίζεται για $t \geq 0$, $x(t) \in \gamma \subset \hat{U}$.

(13) $\omega(x_0) \cap \{x \mid f(x) = 0\} = \emptyset$

Τότε $\omega(x_0) = \text{Περιοδική Τροχιά}$

□

Σημ.

Το Θέλημα 2 λήγει της (5), και ταν ότι ο "σάρτυρος" είναι πάντα αναλλοίωτος, ικανοποιεί ταν (13) \forall λύση της (1). Κατά συνέπεια το $\omega(x_0) = \text{ορισμένος κύκλος} = \text{Περιοδική γωνία}$, $\forall x_0 \in \hat{U}$.

□

Υπάρχει και εναρππος ισχυρότερη έκδοση ταν θέματος.

Θέλημα 4

Εστω $\varphi(t, x_0)$, λύση της (1), ορίζεται και ορίζεται για $t > 0$. Τότε $\omega(x_0) = \text{ορισμένος κύκλος} = \text{Περιοδική Τροχιά}$, $\forall y \in \omega(x_0)$ ισχύει ότι $f|_{\omega(x_0)} = \dot{\varphi}|_{\omega(x_0)} = 0$

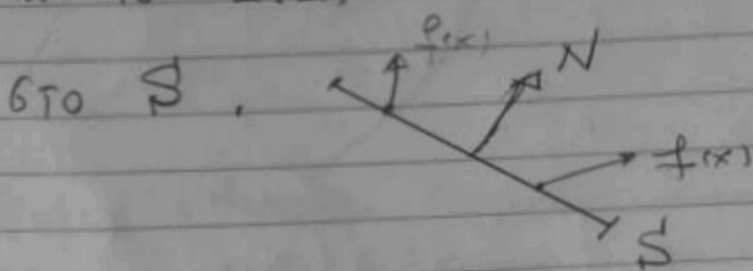
$f|_{\omega(x_0)} = \dot{\varphi}|_{\omega(x_0)} = 0$

1. Τοπικές Διατομές ^{αμβίγρο}

Ορισμός

Ενν ^α ενδογράφιο τήκη $S \subset \hat{U}$ λέγεται τοπική Διατομή

αν το Δ.Σ. πεδίο f δεν είναι πλανά εφαπτόμενο



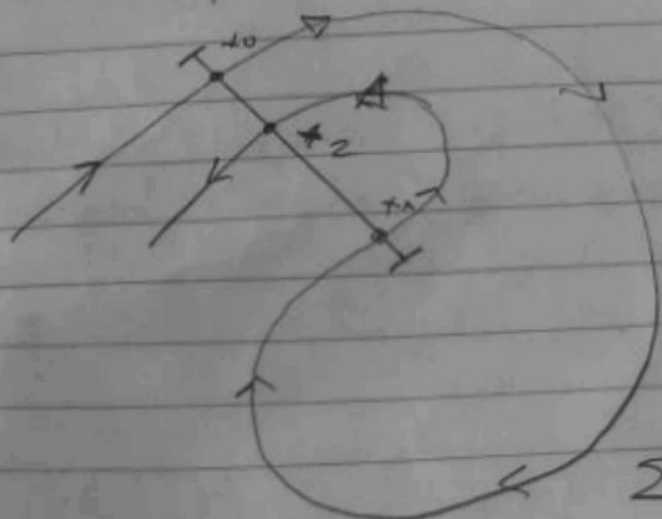
Σχήμα 1

Παρατήρηση 1: Λόγω αμβιγίας το πεδίο f θα βρίσκεται είτε δεξιά, είτε αριστερά. Διότι αν $N \perp S$, φ15φικτα, τότε είτε $f(x) \cdot N > 0 \quad \forall x \in S$, είτε $f(x) \cdot N < 0 \quad \forall x \in S$.

Παρατήρηση 2:

Εστω S τοπική Διατομή. Το παρακάτω σενάριο στο Σχήμα 2 αποκλείεται λότι απινωτάτα

στο x_0 $f(x_0) \cdot N > 0$
 ενώ $f(x_2) \cdot N < 0$.

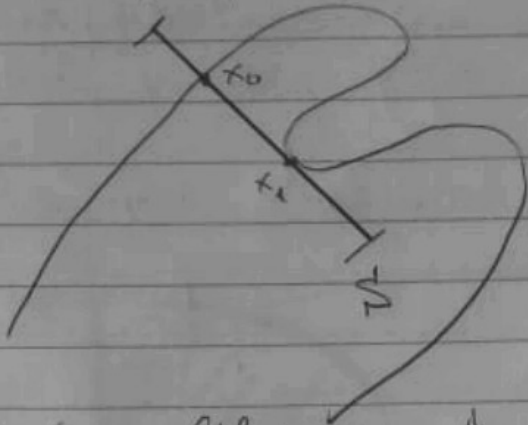


Σχήμα 2

1 2 3

Παρατήρηση 3:

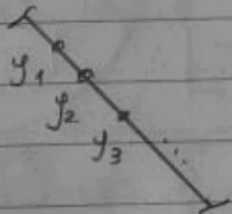
Εστω S Τοπική Διατομή. Το παρακάτω βέλος \rightarrow στο σχήμα 3 επίσης αποδεικνύεται \downarrow $\log u$



$$f(x_1) \cdot N = 0$$

Ορισμός (Μικρότερες Ακρότητες Σημείων)

Εστω I ένα ευθύγραμμο τμήμα στο \mathbb{R}^2 .



Μια ακολουθία σημείων y_1, y_2, \dots, y_n , είναι μικρότερη στο I αν

$$y_n - y_0 = \lambda_n (y_1 - y_0), \quad 1 < \lambda_2 < \lambda_3 < \dots <$$

Σημείωση: $\{y_n\}$ μικρότερη $\iff y_n$ μέσος y_{n-1} και y_{n+1} στην ευθύγραμμη διατομή στο I .

Ορισμός

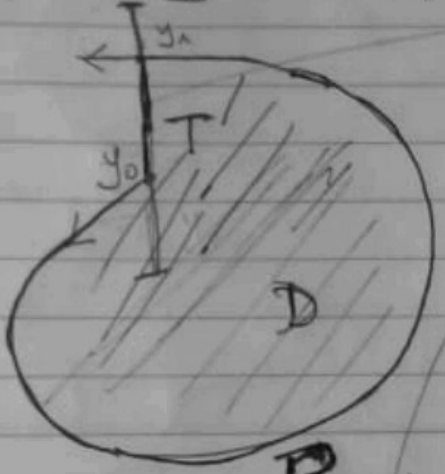
Δίνεται λύση $\varphi(t, x_0)$, και η $\{x_n = \varphi(t_n, x_0)\}$ μικρότερη ακολουθία κατά μήκος της τροχιάς αν

$$t_1 < t_2 < \dots < t_n$$

2. Άλλη 5 (Άλλη Μυστηριώδης - Κρησί)

Έστω S τμήμα διατομής και y_0, y_1, y_2 επίπεδα στην S επί της ίδιας τροχιάς $\varphi(t, x_0)$. Αν y_0, y_1, y_2 είναι μονοτονικά κρησία κατά μήκος της τροχιάς, τότε είναι μονοτονικά στην S .

Απόδειξη Άλλης 5



$S = \text{διατομή}$

αριστερά

οχι αυτότες

$$\Sigma = B \cup T \cup \{y_0, y_1\} = \partial D$$

Από Jordan \Rightarrow το ∂D χωρίζει το \mathbb{R}^2 σε δύο ανεξάρτητα μέρη:

$$B = \left\{ \begin{array}{l} \varphi(t, x_0) \mid t_0 < t < t_1 \\ \varphi(t_0, x_0) = y_0, \varphi(t_1, x_0) = y_1 \end{array} \right\}$$

Έστω Σ η αίτη κρησία κρησία που αποτελείται από το τμήμα B της τροχιάς μεταξύ των y_0 και y_1 , και το ευθύγραμμο τμήμα $T \subset S$ μεταξύ y_0 και y_1 . Έστω D η φραγμένη κρησίτη περιοχή, $\partial D = \Sigma$. Υποθέτουμε ότι η Σ δεν εξέρχεται της D στο y_1 (λόγω Jordan $\mathbb{R}^2 \setminus \partial D = D \cup D^c$, αριστερά, ανεξάρτητα και έπεται ότι όταν διασχίζεις το ∂D απήεις γνωστώς α, Α (125)).

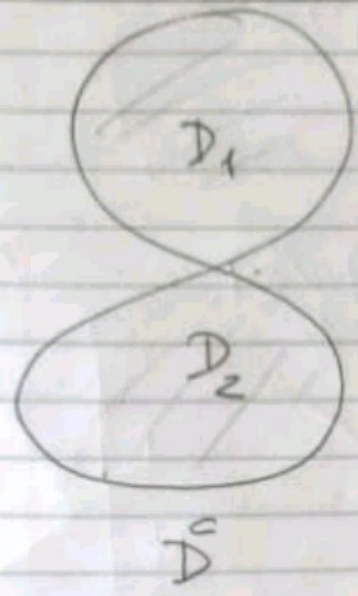
Θα δείξουμε ότι σε κάθε σημείο του T η αντίστοιχη Σ εξέρχεται από το D .

Πρώτον το T δεν εφάπτεται στη τροχιά διότι είναι διατομή. Σε κάθε σημείο του T η αντίστοιχη τροχιά για ανάμετρο $\epsilon > 0$, t χρόνος τοκής με T στο $t + \epsilon$

εφάπτεται ή στο D^c ή στο D . Στο Σ η Σ η Σ η Σ η Σ η Σ η Σ

στην βελίδα (124) βλέπουμε ότι αυτό δεν ισχύει για μη απλές κρησίτες.

Από το άνω μέρος ως προς τις άκρες
 έρχεται το υδατικό T_+ και T_0 και \downarrow αν έρχεται
 το D είναι ανοικτό, και $\neq \emptyset$ λόγω του y_1 .



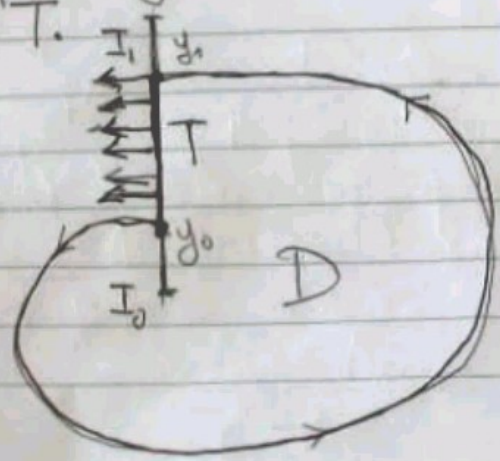
$D = D_1 \cup D_2$, $\partial D = \emptyset$

Για κάποιες περιπτώσεις με
 αυτότοπος το Jordan
 θεωρημα δεν ισχύει
 Δεν μπορούμε να πούμε
 ότι σε κάθε σημείο του ∂D
 για "transversal" που είτε
 βρίσκεται, είτε βρίσκεται στο D .

Όπως το υδατικό T_+ και T_0 αν \downarrow αν έρχεται
 στο D , είναι επίσης ανοικτό. Έχουμε όμως λόγω του
 ότι $TCS = \text{διατόση}$ ότι $T_+ \cup T_- = T$,
 $T_+ \cap T_- = \emptyset$. Αυτό το δείχνει το T είναι ανοικτό.
 Άρα $T_+ = \emptyset$.

Συμπεραίνουμε ότι το $D = \mathbb{R}^2 \setminus D$ είναι δεξιά ανοικτό.

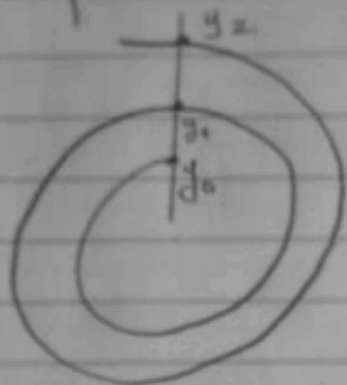
$\implies \exists (t, y_1) \in \mathbb{R}^2 \setminus D$ για $t > 0$, και κατά συνέπεια
 $y_2 \in S-T$. Το σωστό $S-T$
 είναι ένας δυο
 διαστημάτων I_0, I_1
 με y_0 από τον I_0 και
 y_1 από τον I_1



Το I_0 εφάπτεται εντός των D . Κατά συνέπεια
 $y_0 \in I_1$ Σίγουρα

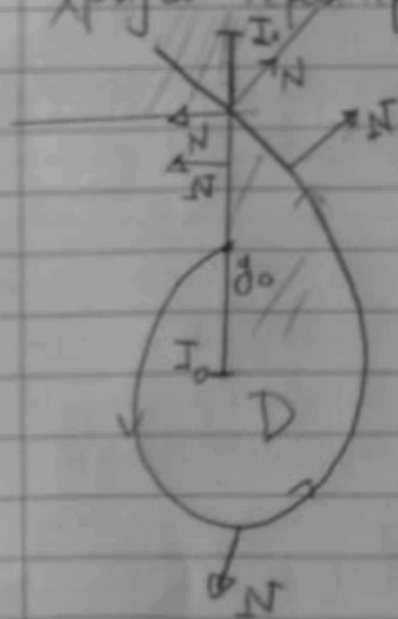
$$\varphi(t, y_0) \notin D \quad \forall t > 0,$$

και συνεπώς έχουμε



Συμπέραση

Η υπόθεση στην απόδειξη των Λημμάτων ότι στο y_1
 η $\varphi(t, y_0)$ εξέρχεται της φραγμένης συνιστώσας D
 χρειαζόμαστε περαιτέρω διευκρινίσεις στο y_1 το ∂D

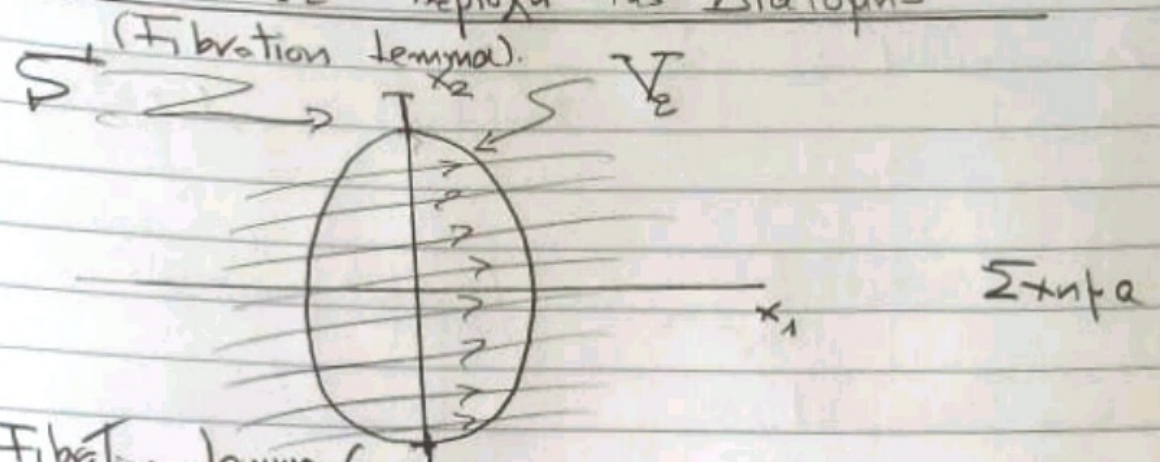


δεν είναι ορατό και το
 κάθετο ημιεπίπεδο $N \perp \partial D$
 δεν ορίζεται μοναδικά. Αντίθετα
 στο y_0 έχουμε ένα κύκλο

από N
 Αρρα ^{όπως} ότι το ενδιαφέρον
 ημίσημα T είναι προσανατολισμένο
 προς τον N , και
 "εξέρχεται από το D στο y_1 "
 προκύπτει από την υπόθεση
 ότι

$$\frac{d\varphi(0, y_0)}{dt} \cdot N > 0.$$

Η Ροή σε Περιοχή της Διατομής



Fibration Lemma 6 I

Εστω S διατομή όπως στο Σχήμα, και
 εστω και οι τροχιές $\varphi(t, (0, x_2))$ για $|t| < \varepsilon$
 Θα δείξουμε ότι \exists περιοχή V_ε του $(0,0)$ " "
 fibrated (fiber = IVa) από τροχιές
 $t \rightarrow \varphi(t, (0, y_2))$, $|t| < \varepsilon$.
 Αυτά και κάθε σημείο $(x_1, x_2) \in V_\varepsilon$ κείται σε
 μοναδική τροχιά $t \rightarrow \varphi(t, (0, y_2))$, $(0, y_2) \in S$.

Σημειώστε ότι η ροή που προκύπτει από την
 $x' = f(x)$, $f \in C^1$, είναι επίσης C^1 , άρα

$$\begin{matrix} x & \rightarrow & \varphi(t, x) & C^1 & \text{συνεχ. απόρριπση.} \\ \mathbb{R}^2 & \rightarrow & \mathbb{R}^2 & & \end{matrix}$$

Θεωρούμε την απεικόνιση

$$(t, y_2) \xrightarrow{\Psi} \varphi(t, (0, y_2)) = (\varphi_1(t, (0, y_2)), \varphi_2(t, (0, y_2)))$$

$$(14) \quad D\Psi(0,0) = \begin{pmatrix} \frac{\partial \varphi_1(0, (0,0))}{\partial t} & \frac{\partial \varphi_1(0, (0,0))}{\partial y_2} \\ \frac{\partial \varphi_2(0, (0,0))}{\partial t} & \frac{\partial \varphi_2(0, (0,0))}{\partial y_2} \end{pmatrix}$$

Example $\frac{\partial \varphi(t,x)}{\partial t} = f(\varphi(t,x))$
 $\varphi(0,x) = x$

$$\frac{\partial \varphi_1(0,(0,0))}{\partial t} = f_1(0,0) \quad , \quad \frac{\partial \varphi_2(0,(0,0))}{\partial t} = f_2(0,0)$$

$$\frac{\partial \varphi_1(0,(0,0))}{\partial y_2} = 0 \quad , \quad \frac{\partial \varphi_2(0,(0,0))}{\partial y_2} = 1$$

$$\Rightarrow (15) \quad D\Phi(0,0) = \begin{pmatrix} f_1(0) & 0 \\ f_2(0) & 1 \end{pmatrix}$$

$$\text{Διατομή} \Rightarrow \begin{pmatrix} f_1(0) \\ f_2(0) \end{pmatrix} \neq \begin{pmatrix} 0 \\ 1 \end{pmatrix}$$

(δεν είναι παράλληλο το $f(0)$ στο S)

$$(16) \quad \therefore \det D\Phi(0,0) \neq 0 \Leftrightarrow \Phi \text{ αμφιδιαφορική}$$

τότιστα στο $(0,0)$.

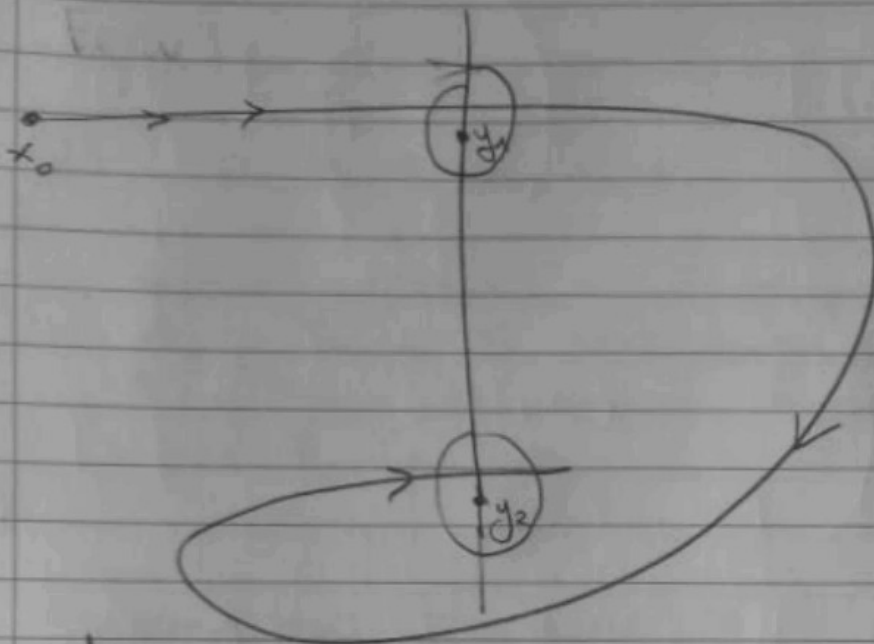
Το Fibration Lemma προκύπτει από το Lemma της αντίστροφης συναρτησης, για $\varepsilon > 0$ κατάλληλα μικρό. □

Πρόταση 7

Εάν $y \in \omega(x) \cup \alpha(x)$. Τότε η τροχιά των y τέμνει κάθε τόπιου διατομή το $\Pi(y)$ σε ένα σύνθετο.

Απόδειξη

Εστω ότι $y \in \omega(x_0)$. Το εσχήμα είναι παρόμοιο αν $y \in \kappa \setminus I$.



Με τις ατομικές αποδείξεις.

Εστω y_1, y_2 δύο σημεία στην $\phi(t, y)$. Τυπικά είναι ότι το $\omega(\kappa)$ είναι αναγωγικό, άρα $y_1, y_2 \in \omega(\kappa)$.

Κατασκευάζουμε περιοχές V_1 και V_2 των y_1 και y_2 αντίστοιχα, όπως στο Άρθρο 5, $V_1 \cap V_2 = \emptyset$. Εφόσον $y_1 \in \omega(\kappa) \exists$ ακολουθία t_1, t_2, \dots, t_n

$$\phi(t_n, x_0) \rightarrow y_1 \quad \text{con} \text{ ακολουθία}$$

$$t'_1, t'_2, \dots, t'_n, \dots \quad \phi(t'_n, x_0) \rightarrow y_2$$

Μπορούμε να υποθέσουμε ότι $\phi(t_n, x_0) \in V_1$, $\phi(t'_n, x_0) \in V_2$, και επίσης επιλέγοντας κατάλληλα ακολουθίες μπορούμε να κατοχυρώσουμε ότι οι $\{t_n\}, \{t'_n\}$ είναι διατηρητούμενες:

$$t_n < t'_n < t_{n+1}$$

Προφανώς έχουμε δύο ακολουθίες $\{a_n\}, \{b_n\}$ με
 $a_n \in V_1, b_n \in V_2$

και με T_{nV}

$a_1, b_1, a_2, b_2, a_3, b_3$ μάλιστα και

Τwo τροχιάς $\varphi(t, x)$, των προφανώς απορρέει
από το Lemma 5 της μινωτικής.
Οδηγούμε σε αυτό. Η απόδειξη της
Προτάσης 7 είναι απλή. □

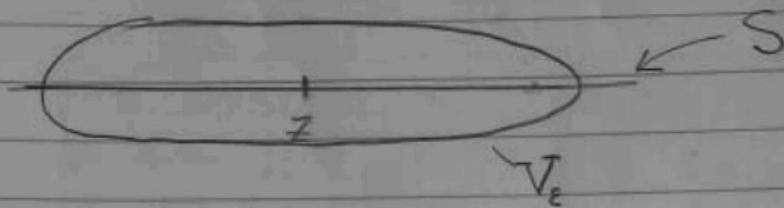
Απόδειξη του Θεωρήματος 3

Από την υπόθεση $x(t) \in V \subset \hat{U}$, προκύπτει
ότι η κλίση $\gamma^+(x_0)$ είναι φραγμένη,
 $\gamma^+(x) \subset \hat{U}$, από το $\omega(x_0) \neq \emptyset$,
συμπαγές, και συνεπώς,

Επιλέγουμε $y \in \omega(x_0)$. Θα δείξουμε ότι η $\varphi(t, y)$
είναι περιοδική τροχιά (\equiv αχμ, γενική καμπύλη)

Πρώτον $\gamma^+(y) \subset \omega(x_0) \Rightarrow \omega(y) \neq \emptyset$
 $\omega(y) \subset \omega(x_0)$. Εστω $z \in \omega(y)$. Θεωρούμε
μία τοπική διατομή στο z ($f(t) \neq 0$ εξ' υποθέσεως
(13))

και την V_z περιοχή περι το z (Fibration Lemma)



$z \in \omega(y) \Rightarrow$ η τροχιά $\varphi(t, y)$ έρχεται στο V_ϵ . Μαζί $\exists \{t_n\} \rightarrow \infty$ T.W.

$\varphi(t_n, y) \rightarrow z$, από απευθείας συνέπεια

$\varphi(t_n, y)$ επιστρέφει εντός της V_ϵ . Από

το Fibration Lemma μπορούμε ότι $\exists \tau_n(\epsilon)$,

$|\tau_n(\epsilon)| < \epsilon$, T.W.

(17) $\varphi(t_n + \tau_n(\epsilon), y) \in S$.

Προφανώς χωρίς βάση της γενικότητας ($\varphi \in \sigma\omega$ υπαρκτός-δίας) μπορούμε να υποθέσουμε ότι

(18) $t_{n+1} - t_n > 1$

Προκύπτει λοιπόν από (17), (18), $\exists r > s$

(19) $\varphi(r, y) \in S \cap V_\epsilon, \varphi(s, y) \in S \cap V_\epsilon$

Απο την Πρόταση 7 προκύπτει ότι

(20) $\varphi(r, y) = \varphi(s, y)$

και κατά συνέπεια η τροχιά είναι κλειστή
αγα περιοδική: $\exists T > 0$ π.ω. $\varphi(t+T, y) = \varphi(t, y)$
 $\forall t \in \mathbb{R}$.

Εχουμε καταφέρει ότι $\exists \gamma$ περιοδική
τροχιά

(21) $\gamma \subset \omega(x_0)$

θα δείξουμε ότι

$$\gamma = \omega(x_0)$$

Προς αυτή την κατεύθυνση πρέπει να δείξουμε
ότι

(21) $\lim_{t \rightarrow \infty} d(\varphi(t, x_0), \gamma) = 0$

Επίπεδος (Απόδειξη της (21)).

Θεωρούμε τώρα $z \in \gamma$ και για μικρή
τόπιση διατομή S π.ω. $S \cap \gamma = \{z\}$

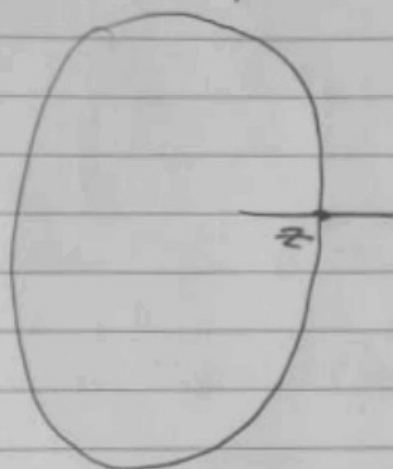
Θεωρούμε τώρα την ε -τροχιά ∇_ε της
διατομής, κεντραρισμένη περί το z . Μέσω
του Fibration ληφτάτος, και επειδή από
(21) το $z \in \omega(x_0)$, μπορούμε να κατασκευά-
σουμε μια ακολουθία $\{t_n\}$

$$t_0 < t_1 < t_2 < \dots < t_n < \dots$$

ΕΤΟΙ ΜΕΤΕ

$$(22) \quad \varphi(t_n, x_0) \in S, \quad \varphi(t_n, x_0) \rightarrow z$$

(επιλογής $\forall \varepsilon_n, \varepsilon_n \rightarrow 0, \tau_n(\varepsilon_n) \rightarrow 0$)
 Θέτουμε $x_n = \varphi(t_n, x_0)$. Από το λήμμα 5



της προτάσεως, έχουμε
 ότι η $\{x_n\} \in S$
 προσεγγίζει
 στο z

και επίσης

$$(23) \quad \varphi(t, x_0) \notin S, \quad t_{n-1} < t < t_n, \quad n=1, 2, \dots$$

(διότι $\gamma \subset \omega(x_0)$ και $\gamma \neq z$)

Θα δείξουμε ότι η διαφορά $t_{n+1} - t_n$
 είναι φθίνουσα.

(σχετίζεται με την περίοδο T της γ)

$$\text{Εστω } \varphi(T, z) = z, \quad T > 0$$

$$\text{Τώρα } x_n \rightarrow z \Rightarrow \varphi(T, x_n) \rightarrow \varphi(T, z) = z$$

| Νέα 131 |

και στα αυθεντα

$$\varphi(T, x_n) \in V_\varepsilon \quad (\varepsilon \text{ φιξαρσφρενσ})$$

και ηξσω τω Fibration Ληφφωτος $\exists \tau_n(\varepsilon)$
 $|\tau_n(\varepsilon)| < \varepsilon$

$$\varphi(T + \tau_n(\varepsilon), x_n) \in S$$

\therefore

(24) $t_{n+1} - t_n \leq T + \varepsilon$

Δωδεντος $\beta > 0 \quad \exists \delta > 0$ τ.ω. για $n \geq n_0$

(25) $|x_n - z| < \delta \Rightarrow |\varphi(t, x_n) - \varphi(t, z)| < \beta$

για $|t| \leq T + \varepsilon$

Εξτω $t \geq t_{n_0}$, $n \geq n_0$, $t_n \leq t \leq t_{n+1}$

Εξοφξ

$$\begin{aligned} d(\varphi(t, x_0), \gamma) &\leq |\varphi(t, x_0) - \varphi(t - t_n, z)| \\ &= |\varphi(t - t_n, x_n) - \varphi(t - t_n, z)| \end{aligned}$$

δλωτλ $< \beta$

$|t - t_n| \leq T + \varepsilon$

Η αποδξζη τωθ Θεωρηματος ελωη ηξφρησ

□